# ブナ・イヌブナ天然林の高等菌類と土壌微生物相

小川 真(1)・山家義人(2)・石塚和裕(3)

Makoto Ogawa, Yoshito Yambe and Kazuhiro Ishizuka:
Fungal and Soil Microbial Florae in the Natural
Stand of Fagus crenata and F. japonica

要 旨:栃木県矢板市のブナ・イヌブナ天然林において高等菌類と土壌微生物相および堆積腐植の 分解について調査を行った。堆積腐植の分布状態は林床植生の分布や微地形に左右され、ヒノキ林15) にくらべて不均一であった。ブナの落葉分解は順調で、その分解型は落葉広葉樹林に一般的なパター ンを示した。 落葉分解過程にはカヤタケや Collybia 属など大形のシロをつくる帽菌類による白色腐 朽が顕著に認められた。林分全面にわたって白色腐朽による分解が優占しており、褐色腐朽を主とす るヒノキ林とは対照的であった。ブナやイヌブナの細根の分布は A<sub>0</sub>層の分布に左右され, F層に生 息する菌根菌が多いために 菌根量は  $A_0$  層と HA 層に多かった。  $168\,\mathrm{m}^2$  のコードラート内に発生し た高等菌類は 44 種, うち腐生菌 23 種, 菌根菌 21 種であった。 落葉分解菌は Mycena と Clitocybe 属が、菌根菌は Cortinarius 属と Russula 属が優占した。土壌微生物の表層土壌における水平分布 は糸状菌を除いてほぼ一様となった。 A<sub>0</sub>層については落葉分解の進行にともなって細菌と糸状菌が 交替し、放線菌には顕著な動きがなかった。 Ao 層から鉱質土層へかけて細菌と放線菌は連続的な動 きを、糸状菌は不連続な分布を示した。表層土壌の微生物の機能についてみると、セルロースや澱粉、 糖などを利用する微生物が HA 層で増加した。有機態窒素は主として細菌によって分解され、  $A_0$  層 から HA 層にかけて アンモニア化成がすすみ, HA 層と  $A_1$  層で硝酸化成が進むものと思われた。 ヒノキ林にくらべて硝酸化成作用は低いようであった。根圏土壌の微生物群の動きは A<sub>1</sub> 層土壌のも のにくらべてはげしく、季節による変化も大きかった。ブナ・イヌブナ林の高等菌類相と土壌微生物 相は同一地域にあるヒノキ林のものと全く異なっており、広葉樹伐採後にヒノキが造林された場合の 土壌生態系の変化はかなり大きいものと考えられる。

関東,東北地方の山岳地帯における広葉樹天然林の代表的なものとしてブナ・イヌブナ林をとりあげ,そこにおける高等菌類相と土壌微生物相および堆積腐植の分解過程を調査した。この調査研究は「農林漁業における環境保全的技術に関する総合研究」の一環として栃木県矢板市,釈迦ケ岳国有林において実施した生態系調査の一部である。同一地域のヒノキ人工林における調査研究の成果は先に報告した150。また,この調査林分に隣接する地点で行われたブナ林の物質生産や循環に関する調査結果は河原ら40によって報告されている。調査林分の植生や土壌および土壌動物相などについては,農林水産技術会議事務局編,別枠研究試験成績書(第1集)70の中におさめられている。

ブナ林での落葉分解や微生物相に関する研究は比較的多く、わが国でも斎藤18040による落葉分解過程に関する研究がなされており、落葉分解にともなう微生物群の遷移などがよく知られている。近年では石塚80によって詳細な検討がなされ、落葉分解の季節的な動きや担子菌類の役割なども知られるようになった。土壌微生物相、とくに糸状菌相については大政ら120の調査研究がある。ヨーロッパではブナ属植物の森林における落葉分解1020や土壌微生物相50、菌根60などに関する報告も多い。しかし、同一地点での落葉分解過程や根と菌根の分布、高等菌類相、土壌微生物相などを相互に関連づけて研究した例はほとんどない。この調査の目的は土壌微生物や菌類などの生物相とその基質となる落葉や根の分布状態を比較的狭い

範囲内で総括的にとらえることであった。また,同一地域内において天然林の伐採跡地に造林されたヒノ キ人工林の土壌微生物相と比較を試みることも主要な目的の一つであった。

この調査の実施にあたって便宜を与えられたプロジェクト リーダー, 林業試験場長 松井光瑤博士, 協同研究者である松本久二氏, 堀田 庸氏など林業試験場上じょう部の各位に感謝する。また, この報告のとりまとめにあたって有益な助言を与えられた土じょう部長 河田 弘博士, 土じょう肥料科長 原田 洗博士に感謝する。

# 調査林分の概況

調査対象としたブナ・イヌブナ林 は 栃木県高原山南東面の釈迦ケ岳国有林にあり, 標高約  $700\,\mathrm{m}$  に位置する。調査林分は渓流に面した棚状地形の緩斜面にあり,ところどころに安山岩が露出する。土壌は火山灰を母材とする  $\mathrm{Bp}$  型土壌で, $\mathrm{A_0}$  層は厚く, $\mathrm{HA}$  層が見られ,腐植にとむ  $\mathrm{A_1}$  層と  $\mathrm{A_2}$  層は暗褐色でよく発達している。石礫はなく,比較的湿潤である。土性は壌土,  $\mathrm{A_1}$  層の  $\mathrm{pH}$  は  $\mathrm{4.5}$ ,  $\mathrm{B}$  層では  $\mathrm{5.3}$  であった (Photo. H)。

高木層はブナとイヌブナからなり、斜面の上部ではブナが、下部ではイヌブナが優占した。他の樹種は少なく、アカシデとカエデ類が点在する程度であった。斜面下部の林床は短桿のミヤコザサとヒカゲスゲにおおわれており、コードラートを設定した場所では Fig. 3 のようにミヤコザサとヒカゲスゲがモザイク状に分布していた。斜面上部ではミヤコザサがなくなり、広葉の草本植物が優占した。

ブナとイヌブナの樹高は  $18\sim20\,\mathrm{m}$ , 胸高直径は  $50\sim60\,\mathrm{cm}$  あり,立木密度は約  $800\,\mathrm{a}$ /ha であった。他のかん木の立木密度は  $270\,\mathrm{a}$ /ha であった(Photo. G)。 この林分内には ところどころにブナの倒木があり,落下した枯枝も多かった。またイヌブナが株状に生育しており,その中心には古い伐根があったものと思われる。過去にはブナやイヌブナの抜き伐りが行われていたものと思われる。

#### 調査方法

調査方法については前報15)に記述したので、ここでは前報と異なる場合についてのみ記述する。

#### 1) 堆積腐植 (A。層) と根および菌根の量と分布

調査林分内の斜面下部に  $20 \times 20 \,\mathrm{m}$  のコードラートを設け、その中を  $2 \,\mathrm{m}$  方形の小区画に区切った。  $A_0$  層の厚さを小区画の  $1 \,\mathrm{m}$  ごとの交点で測定し、厚さ  $5 \,\mathrm{cm}$  以上、 $3 \sim 5 \,\mathrm{cm}$ 、 $1 \sim 3 \,\mathrm{cm}$  に区分して平面図に記入し、その分布状態を図に描いた。

落葉や粗腐植などの堆積腐植は  $50\times 50$  cm の方形枠を用いて,L層,F層など層別に採取した。鉱質土層の最表層,HA層については深さ 5 cm までを採取した。L,F層については根を除いた後,1週間風乾し, $60^{\circ}$ C に1週間以上おいて重量測定を行った。HA層については根を除き,さらにフルイ上で水洗して土壌を除き,混合している粗腐植をとり出した。この粗腐植を2週間風乾した後, $60^{\circ}$ C に1週間以上おいて乾燥し,重量測定を行った。

F層に含まれていた根と菌根については分解した落葉などを手でほぐしながら取り出し、HA層のものは粗腐植を洗い出す際に水道水で静かに洗いながらとり出した。菌根は樹皮の形成された太い根から水中でとりはずし、別に測定した。根と菌根は $60^{\circ}$ で2週間以上乾燥した後、重量測定を行った。

## 2) 堆積腐植の分解型

新鮮落葉や粗腐植は  $50 \times 50$  cm 方形枠で層別に採取し、上述のように 風乾した後、5、10、20、 $32 \times 9$  9 2 のフルイでフルイ分けした。以後の処理方法は前報<sup>15)</sup>に同じである。

#### 3) 高等菌類相

1973 年 6 月から 11 月にわたって, 6 月と 10 月には月 2 回,他の月は月 1 回, 高等菌類の発生位置とその量および生態的性質に関する調査を行った。コードラート内に発生した菌類はその発生位置を図上に記録した。採取した子実体は種名の同定を行い, 本数を数えた後,  $45^{\circ}$ C に 1 か月おいて乾燥し, 重量を測定した。土壌中の菌糸層についてはその形状と分布範囲を記録し,標本を採取した。子実体発生位置の調査が一応終了した 1973 年 11 月には新鮮落葉を除いて主要な菌の菌糸層の確認を行った。

菌類の各の性質についてはその菌糸層や菌糸束が分布している位置を確認し、菌糸と基質の結び付きを調べた。その結果、菌根を形成するものを菌根菌、Mとし、落葉や枝、材などを分解するものを腐生菌、Sとして表示した。 主に F 層に菌糸層があって、 菌根を形成する腐生的性質をもつ菌根菌を SMとして表示した。

なお、 高等菌類の 発生位置の 確認は  $20 \times 20 \,\mathrm{m}$  の コードラート内の斜面下方の部分  $168 \,\mathrm{m}^2$  内で行った。精査は 1973 年に実施し、その後、 1975 年まで 3 か年菌類採集を行い、この林分の種組成に年による大きな変化がないことを確認した。

# 4) 土壤微生物相

土壌微生物の水平分布については コードラート内の 小区画の中心点から 2m 間隔で  $A_1$  層の土壌を 10 点採取し、分離用試料とした。分離培養方法は前報 $^{15}$ に同じである。

土壌微生物の垂直分布についてはコードラートに隣接する地点に設けた土壌断面から試料を採取した。 分離培養方法は前報<sup>15</sup>)に同じである。

粗腐植や腐植の 混入が 多い HA 層と 腐植にとむ  $A_1$  層において働きの異なる微生物群の分布状態を見るために各種の培地を用いた分離培養を試みた。その方法および試料採取方法は前報 $^{15}$ )に同じである。

#### 5) ブナの根圏微生物相

試料採取,処理,分離培養法など実験方法は前報15)と同じである。

# 調査結果

#### 1) 堆積腐植 (A。層) と根および菌根の量と分布

 $A_0$  層の 6 月の分布状態を Fig.~1 に示す。 6 月には前年の落葉の分解が始まっており、 $A_0$  層は比較的 安定した状態にある。落葉の急激な分解は通常 7、8 月に進行する。

 $A_0$  層の厚さはミヤコザサやヒカゲスゲなどの林床植物の分布状態によって変化し、植物の多いところではうすくなった。 もっともうすい所で  $1\,\mathrm{cm}$ 、厚いところでは  $8\,\mathrm{cm}$  であった。 また微地形によってもかわりやすく、HA 層が露出する場所もあった。

 $50 \times 50 \,\mathrm{cm}$  の方形枠で採取した堆積腐植と細根の量を Table 1 に示す。ブナの枯枝は不均一に分布していたので、測定から除外した。

新鮮落葉の量は  $A_0$  層の厚さがちがってもほとんどかわらず,  $140\,\mathrm{g}/2,500\,\mathrm{cm}^2$  前後と 均一に 分布していた。一方, F 層の粗腐植の量と HA 層に含まれる粗腐植の量は  $A_0$  層の厚さに比例した。 堆積腐植全

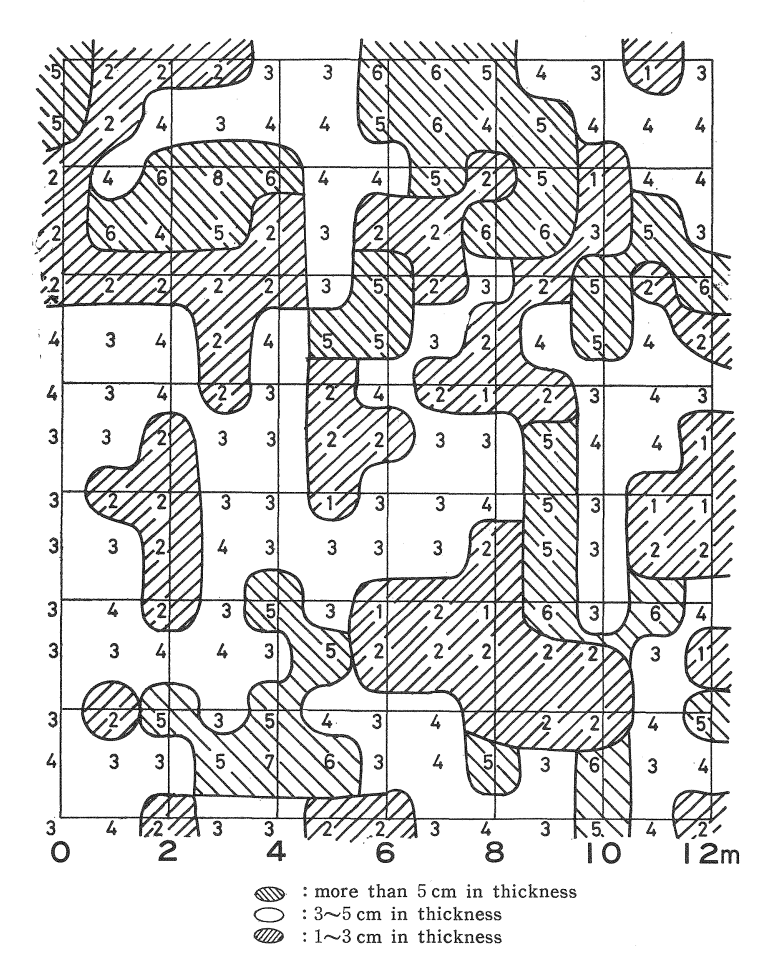


Fig. 1 Distribution of litter in Fagus crenata—Fagus japonica forest. June, 1973.
 The thickness of A<sub>0</sub> layer was measured every 1 m point.
 Numbers in the figure indicate the thickness of litter, cm.

Table 1. The amounts of litter and roots in Fagus crenata—
Fagus japonica stand

Thickness of A <sub>0</sub> layer Litter and roots	1~2 cm	3∼4 cm	4∼5 cm	Average
Fresh fallen leaves in L layer	130,7 g	146, 1 g	139, 2 <b>g</b>	138.6g
Raw humus in F layer	77.7	130.6	158.7	122.3
Organic matter in HA horizon (depth 0~5 cm)	68.4	78.5	121.9	89.6
Total amount of litter	276.8	355.2	419.8	350.5
Roots in A <sub>0</sub> layer	1.2	7.3	12, 5	7.0
Roots in HA horizon	41.6	37, 2	31.9	36.9
Mycorrhizae in surface soil	6.3	8, 6	9. 2	8.0
Total amount of roots	49, 1	53, 1	53, 6	51.9

Litter was collected from every layers by  $50 \times 50$  cm square frame before litter fall in October, 1973. The roots were extracted from the sample of litter. The amounts of litter and roots, dry weight, g/2,500 cm<sup>2</sup>.

体の重量は  $A_0$  層の厚さに比例し、 $350.5g/2,500 \text{ cm}^2$  となった。

 $A_0$  層に含まれる根の量は  $A_0$  層の厚さに応じて変化し、とくに F 層の厚さに比例した。 F 層の中のブナやイヌブナの細根の大部分は菌根であった。 HA 層の中の根量は  $A_0$  層の厚さに反比例し、  $A_0$  層がうすいほどふえる傾向が見られた。  $A_0$  層と HA 層とに含まれる根の量は  $A_0$  層の厚さに関係なく、ほぼ一定となり、 平均値は  $51.9\,g/2,500\,cm^2$  であった。 この中には直径  $0.5\,cm$  以上の太い根は ほとんど なかった。

A<sub>0</sub> 層と HA 層にあるブナとイヌブナの細根の先はほとんど菌根化しており、菌鞘におおわれていた。 ただし、根の全量からみると、菌根の率は約20%と低かった。

#### 2) 堆積腐植の分解型

落葉分解過程の質的な変化を Plate A から F に示す。 この試料は落葉前の 10 月に採取したものである。 したがって, Plate A と B に示す新鮮落葉は前年落葉した分解途上のものである。この中には小枝や球果も数多く含まれていた。ブナの小枝にはヤマンバノカミノケの根状菌糸束や枝の材腐朽菌が着生していた。B の断片葉の中には黄変した腐朽葉がかなり混入していた。これらの落葉はフルイで分画した場合には 1 に含まれる。

C に示したものは断片化した分解薬で  $f_1$  に相当し、ここには枝や球果の断片も含まれた。 D に示すものは F 層の下部にあって黄変ないしは黒変しており、根の断片も多かった。 この部分は  $f_2$  に相当した。 E に示すものは  $f_2$  の断片がさらに 小さくなったもので、  $f_3$  に相当した。 葉肉の部分は ほとんど なくなり、分解しにくい葉脈や枝、樹皮、球果、根などの断片と動物の糞が主であった。 F に示すものは肉眼では元の形が判別できないほどに分解された細片で、HA 層に多く、水洗してとり出したものである。この画分は明褐色で、量は少なく、 $f_4$  に相当した。

Fig. 2 には  $A_0$  層の厚さ別に測定した 落葉分解型の 6 月と 11 月の例を示す。 6 月の新鮮落葉の l には 褐色の葉や黄変葉が多く,全体の 60% を占めていた。 F 層下部での分解が盛んになる前であるために  $f_1$ 

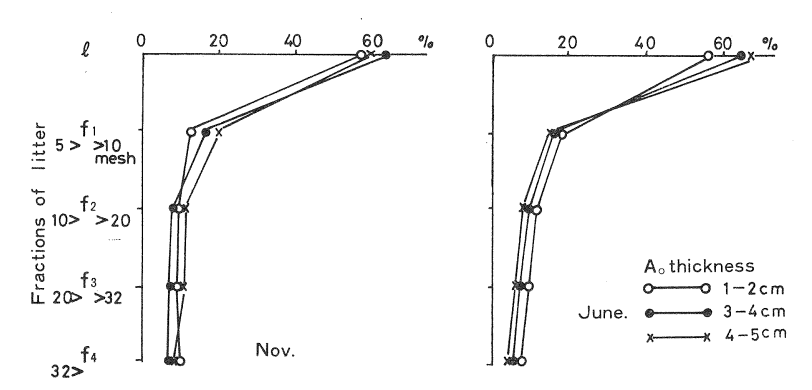


Fig. 2 Decomposition of litter in Fagus crenata—Fagus japonica forest. Sampling: November, 1974 and June, 1974. Litters on the forest floor were collected by  $50 \times 50 \, \mathrm{cm}$  square frame. Decomposing leaves and others were divided into four fractions by sieving. The litters in HA and  $A_1$  horizons was extracted on the sieves by washing. The litter decomposition patterns were shown by the percentages of each fraction per total weight.

Table 2. Ecological characters of higher fungi. Fruit bodies were from June through November in 1973

Species name	Function	Substrate or host	Number of fruit body	Dry weight (g)	Habitat
Mycena luteopallens	s	fruit of Fagus	335	0.95	A <sub>0</sub>
Mycena pura	S	leaves	8	0, 20	F
Mycena haematopus	S	wood	1	0.25	$A_0$
Mycena sp.	S	leaves	3	0,05	L
Mycena sp.	S	leaves	8	0.15	L
Mycena sp.	S	leaves	1	0.05	L
Hygrophorus leucophaeus	S	raw humus	5	0.08	F
Collybia sp.	S	raw humus	12	1,25	F
Collybia sp.	S	raw humus	7	0.40	F
Oudemansiella radicata	S	wood, root	1	0.15	A-B
Clitocybe infundibuliformis	S	leaves, raw humus	79	10.40	F
Clitocybe fragrans	S	leaves, raw humus	2	0.15	F
Lyophyllum sp.	S	raw humus	3	0.18	F
Rhodophyllus sp.	S	raw humus	8	0, 85	F
Agaricus sp.	S	raw humus	1	0.15	F
Hydnum repandum var. album	S	raw humus	1	0.05	F
Corilus versicolor	S	wood	27	2, 20	$A_0$
Polyporellus sp.	S	wood	8	0, 85	$A_0$
Leotia lubrica	S	humus	14	0.40	HA
Leotia sp.	S	humus	1	0,05	HA
Peziza badia	S	humus	6	0.15	HA
Discomycetes	S	humus	1	0.05	ΗA
Lycoperdon gemmatum	S	wood, root	2	0.15	A
Laccaria laccata	SM	Fagus	17	0.45	HA
Russula emetica	M	Fagus	18	3.10	A
Russula densifolia	M	Fagus	2	1.55	A
Russula cyanoxantha	M	Fagus	1	0,40	ΗA
Russula sp.	M	Fagus	1	0.50	HA
Lactarius chrysorrheus	M	Fagus	3 .	0, 20	ΗA
Amanita pantherina	M	Fagus	2	0.65	A-B
Amanita verna	M	Fagus	1	2, 35	A-B
Cortinarius collinitus	SM	Fagus	1	0.10	F
Cortinarius salor	SM	Fagus	20	1.90	FΗ
Cortinarius sp.	SM	Fagus	1	0.15	F
Cortinarius sp.	SM	Fagus	1	0.15	F
Cortinarius sp.	SM	Fagus	1	0.10	FH
Cortinarius sp.	SM	Fagus	3	0.70	FH
Cortinarius sp.	SM	Fagus	2	0.35	FH
Leccinum sp.	SM	Fagus	1	1.00	FH
Inocybe sp.	M	?	2	0,05	A
Inocybe sp.	M	?	3	0.05	A
Inocybe sp.	M	?	2	0,05	A
Inocybe sp.	M	?	2	0,05	A
Inocybe sp.	M	?	3	0.15	A
Cantharellus sp.	M	Fagus	5	0.05	A

Total species number : 44. Saprophyte, S: 23 species. Mycorrhizal fungi with saprophytic activity, SM number of fruit bodies : 625. Total weight of fruit bodies :  $33.06\,\mathrm{g}$ . Survey area :  $168\,\mathrm{m}^2$ .

Habitat: soil horizons. colony: there was no formation of thick mycelial layer. mat: mycelial layer was strand: it has no developed inner structures. rhizoid: root like structure connecting with the base of fruit

collected in Fagus forest

colony small mat larger colony small colony small mat, mycelial strand mat larger mat larger mat larger mat small colony larger mat small colony small small arger mat small colony small small arger mat small colony small mat, mycelial strand colony, rhizoid mat larger mat small arger mat small colony larger colony small colony small colony larger mat small arger mat small colony larger colony small colony small rhizomorph mat, mycelial strand rhizomorph mat, rhizomorph rhizomorph mat, rhizomorph rhizomorph rhizomorph sporadical				
mat larger colony larger colony small colony small colony small mat, mycelial strand mat, mycelial strand colony, rhizoid mat larger mat larger mat larger mat small mat larger mat small colony larger colony small mat, mycelial strand colony, rhizoid mat larger mat larger mat small colony larger mat small colony larger mat small colony larger colony small ? ? ? ? ? ? ? ? ? ? ? ? ? ? ? ? ? ?		Occurrence of fruit body		
colony larger colony small colony small colony small mat, mycelial strand mat, mycelial strand colony, rhizoid mat larger mat larger mat small mat small colony larger colony small  colony, rhizoid mat, mycelial strand colony, rhizoid mat larger mat small mat larger mat small colony larger colony small  ? ? ? ? ? ? ? ? ? ? ? ? ? ? colony, rhizomorph mat, mycelial strand rhizomorph mat, rhizomorph rhizomorph rhizomorph rhizomorph rhizomorph rhizomorph rhizomorph sporadical	colony small	sporadical		
colony small colony small colony small mat, mycelial strand mat, mycelial strand colony, rhizoid mat larger mat larger mat small mat larger mat small colony larger colony small colony, rhizoid mat, mycelial strand colony, rhizoid mat larger mat small mat larger mat small colony larger colony small ? ? ? ? ? ? ? ? ? colony, rhizomorph mat, mycelial strand rhizomorph mat, rhizomorph rhizomorph rhizomorph rhizomorph rhizomorph sporadical	mat larger	*		
colony small colony small colony small mat, mycelial strand mat, mycelial strand mat, mycelial strand colony, rhizoid mat larger mat larger mat small mat small colony larger colony small colony, rhizomorph mat, mycelial strand rhizomorph mat, rhizomorph mat, rhizomorph mat, rhizomorph rhizomorph mat, mycelial strand rhizomorph mat, mycelial strand rhizomorph mat, rhizomorph mat, rhizomorph mat, rhizomorph rhizomorph mat, mycelial strand rhizomorph mat, rhizomorph rhizomorph mat, mycelial strand rhizomorph mat, mycelial strand rhizomorph mat, rhizomorph rhizomorph mat, mycelial strand rhizomorph sporadical sporadical gregarious	colony larger			
colony small mat, mycelial strand mat, mycelial strand mat, mycelial strand colony, rhizoid mat larger mat larger mat small mat small colony larger mat small colony small  colony larger colony small  ? ? ? ? ? ? ? ? ? ? colony, rhizomorph mat, mycelial strand rhizomorph rhizomorph rhizomorph mat, mycelial strand rhizomorph mat, mycelial strand rhizomorph sporadical gregarious		sporadical		
mat, mycelial strand mat, mycelial strand mat, mycelial strand colony, rhizoid mat larger mat larger mat small mat small colony larger mat small colony larger mat small colony larger colony small ? ? ? ? ? ? ? ? ? ? ? ? ? ? ? ? ? ?	colony small	*		
mat, mycelial strand mat, mycelial strand colony, rhizoid mat larger mat larger mat small mat larger mat larger mat larger mat small colony larger colony small ? ? ? ? ? ? ? ? ? ? ? ? ? ? ? ? ? ?	colony small	*		
mat, mycelial strand colony, rhizoid mat larger mat larger mat small mat larger mat small mat larger mat small colony larger colony small ? ? ? ? ? ? ? ? ? ? colony, rhizomorph mat, mycelial strand rhizomorph rhizomorph rhizomorph rhizomorph mat, rhizomorph mat, rhizomorph rhizomorph mat, rhizomorph rhizomorph mat, rhizomorph rhizomorph sporadical sporadical sporadical sporadical sporadical	mat, mycelial strand	gregarious		
mat, mycelial strand colony, rhizoid mat larger mat larger mat small mat larger mat small mat larger mat small colony larger colony small ? ? ? ? ? ? ? ? ? ? colony, rhizomorph mat, mycelial strand rhizomorph rhizomorph rhizomorph rhizomorph mat, rhizomorph mat, rhizomorph rhizomorph mat, rhizomorph rhizomorph mat, rhizomorph rhizomorph sporadical sporadical sporadical sporadical sporadical	mat, mycelial strand	0 0		
colony, rhizoid mat larger mat larger mat small mat larger mat small mat larger mat small colony larger colony small ? ? ? ? ? colony, rhizomorph mat, mycelial strand rhizomorph rhizomorph rhizomorph mat, rhizomorph mat, rhizomorph mat, rhizomorph rhizomorph mat, rhizomorph rhizomorph mat, rhizomorph rhizomorph mat, rhizomorph mat, rhizomorph rhizomorph mat, rhizomorph rhizomorph mat, sporadical sporadical sporadical sporadical				
mat larger mat larger mat larger mat small mat larger mat larger mat larger mat small colony larger colony small ? ? ? ? ? colony, rhizomorph mat, mycelial strand rhizomorph rhizomorph rhizomorph rhizomorph mat, rhizomorph rhizomorph mat, rhizomorph rhizomorph rhizomorph mat, rhizomorph rhizomorph mat, rhizomorph rhizomorph mat larger fairy ring or gregarious gregarious gregarious fasciculated fasciculated gregarious	· · · · · ·			
mat larger mat small mat larger mat larger mat larger mat small colony larger colony small ? ? ? ? ? colony, rhizomorph mat, mycelial strand rhizomorph rhizomorph rhizomorph mat, rhizomorph mat, rhizomorph rhizomorph mat, rhizomorph rhizomorph mat, rhizomorph mat, rhizomorph rhizomorph mat, rhizomorph sporadical sporadical gregarious	= :	fairy ring or gregarious		
mat small mat larger mat larger mat larger mat small colony larger colony small ? gregarious gregarious fasciculated fasciculated gregarious	9			
mat larger mat larger mat larger gregarious gregarious gregarious gregarious fasciculated fasciculated gregarious				
mat larger mat small colony larger colony small ? gregarious gregarious fasciculated gregarious poradical sporadical sporadical sporadical				
mat small colony larger fasciculated fasciculated gregarious				
colony larger colony small ? ? gregarious ? gregarious ? gregarious ? gregarious ? gregarious ? gregarious drizomorph mat, mycelial strand rhizomorph mat, rhizomorph mat, rhizomorph rhizomorph sporadical rhizomorph rhizomorph sporadical sporadical				
colony small ? gregarious ? gregarious ? gregarious ? gregarious ? gregarious colony, rhizomorph mat, mycelial strand rhizomorph mat, rhizomorph mat, rhizomorph mat, rhizomorph sporadical rhizomorph rhizomorph sporadical sporadical				
? gregarious ? gregarious ? gregarious ? gregarious ? gregarious colony, rhizomorph gregarious mat, mycelial strand rhizomorph sporadical mat, rhizomorph sporadical rhizomorph sporadical sporadical	, 0			
? gregarious ? gregarious ? gregarious colony, rhizomorph gregarious mat, mycelial strand rhizomorph sporadical mat, rhizomorph sporadical rhizomorph sporadical	•			
? gregarious colony, rhizomorph gregarious mat, mycelial strand rhizomorph sporadical mat, rhizomorph sporadical rhizomorph sporadical				
? gregarious colony, rhizomorph gregarious mat, mycelial strand rhizomorph sporadical mat, rhizomorph sporadical rhizomorph sporadical	?			
colony, rhizomorph mat, mycelial strand rhizomorph mat, rhizomorph mat, rhizomorph rhizomorph sporadical rhizomorph sporadical	?			
mat, mycelial strand gregarious rhizomorph sporadical mat, rhizomorph sporadical rhizomorph sporadical	•			
rhizomorph sporadical mat, rhizomorph sporadical rhizomorph sporadical		_		
mat, rhizomorph sporadical rhizomorph sporadical	, -			
rhizomorph sporadical	-	_		
		_		
rhizomorph sporadical				
	*	gregarious		
	- / -	sporadical		
		sporadical		
	•	gregarious		
mat, mycelial strand gregarious				
mat, mycelial strand gregarious				
mat small solitary				
mat larger gregarious		•		
mat larger gregarious	-			
? gregarious	_			
mycelial strand sporadical	•			
? sporadical				
*				
? sporadical ? sporadical ? sporadical ? sporadical	9			
? sporadical	• • • • • • • • • • • • • • • • • • • •			
? sporadical	9			
colony small gregarious	•			
:7 species. Mycorrhizal fungi. M:14 species. Total				

:7 species. Mycorrhizal fungi, M:14 species. Total

thick and the mycelium occupied a certain area. mycelial body. rhizomorph: it has the developed inner structure.

が多く,細片化した画分, $f_2$  から $f_4$  は順次減少していた。

落葉直後の 11 月にも 新鮮落葉が約 60% を占めていたが、その内容は 6 月のものと異なり、 落葉直後の 褐色葉であった。 11 月の  $f_1$  は 6 月の l の分解が 進んだ ものであり、 6 月の  $f_1$  にくらべて その占める 割合はほとんどかわらなかった。  $f_2$  以下の画分についても 6 月とほぼ同じ割合となった。

堆積腐植の分解型をみると、分解は順調に進行しており、 $A_0$ 層の厚さや季節によっても分解型がほとんどかわらないことがわかる。

#### 3) 高等菌類相

168 m² の調査区域内に発生した高等菌類は Table 2 の通りであった。1973 年度のみの測定結果であるが、全種数は44種、うち子のう菌類が4種、担子菌類が40種であった。この担子菌類のほとんどがマツタケ目に属していたが、種数の多いのは、Mycena、Collybia、Russula、Cortinarius、Inocybe などの属であった。子のう菌類には小型の子実体を形成するものが多く、採集もれもしくは採集しなかったものがある。

子実体本数が多かったのはブナの実から発生するウスキブナノミタケ (Mycena luteopallens) で、335本に達した。次いで落葉を白色腐朽するカヤタケ (Clitocybe infundibuliformis)、木材腐朽菌のカワラタケ (Corilus versicolor)、および腐朽材に出るホコリタケ (Lycoperdon gemmatum)が多かった。菌根菌の中ではキツネタケ (Laccaria laccata)、ドクベニタケ (Russula emetica)、ムラサキフウセンタケモドキ (Cortinarius salor) が多かった。

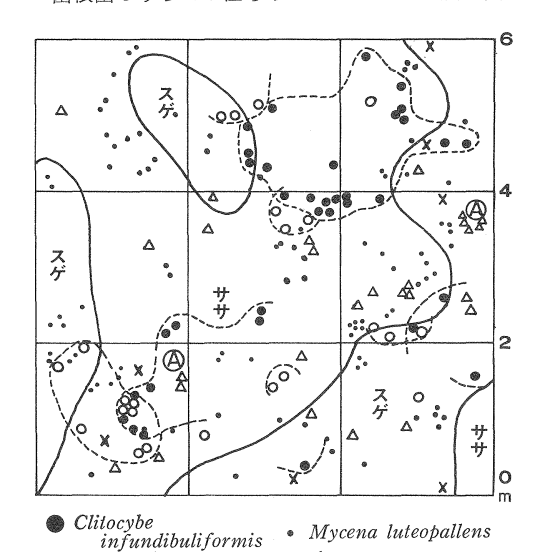
子実体の重量でみると、カヤタケ、カワラタケ、ドクベニタケ、シロタマゴテングタケ(Amanita verna), ムラサキフウセンタケモドキなどが多かった。

この林分の高等菌類相は子実体の本数と重量および菌糸層の占有する広さなどからみて、落葉分解菌は Mycena 属とカヤタケ、菌根菌はドクベニタケなどの Russula 属とムラサキフウセンタケモドキなどの Cortinarius 属によって代表された。したがって、この林分の高等菌類相は、Mycena、Clitocybe, Russula、 Cortinarius 型といえる。

44種のうち腐生菌は23種、菌根菌は21種となり、その比率はほぼ1:1であった。腐生菌のうち落 葉分解菌が13種、木材腐朽菌が5種、その他ブナの実や鉱質土層の中の有機物を分解するものが5種あ った。菌根菌のうちでも Ao 層に生息し、腐生的な能力をもつと思われるものが7種あり、鉱質土層に生 息して外生菌根を形成するものが14種であった。ただし、Inocybe 属については土壌中の生態が十分確 認できなかった。

菌糸が主として広がる生息位置についてみると、材を分解するカワラタケや枝に着生する子のう菌、実 につくウスキブナノミタケなどはもちろん Ao 層に生息する。 しか し, 木材腐朽菌の中でも埋れた材や 枝、根株などを分解する、ツエタケ (Oudemansiella radicata) やホコリタケは鉱質土層に生息した。落 葉分解菌については 新鮮落葉を分解する Mycena などは L 層に生息し、 カヤタケや Collybia などのよ うに F 層にシロを形成して落葉を白色腐朽するものは F 層に、子のう菌類は各の生活型に応じて、 L 層 や HA 層に生息した。

菌根菌のうちで 6 種あった  $\mathit{Cortinarius}$  属の菌はいずれも F 層から HA 層の表層にシロを形成し、発



× Russula spp. △ その他の菌 Fig. 3 Fruit body occurring positions

O Cortinarius sp.

and colonies of higher fungi. Fruit bodies of higher fungi were collected and recorded in 1973. Dotted lines show the colonies of major species. The fungal species and their ecological characters are shown in Table 2.

A Acer sp.

達の悪い菌糸束をつくり, 樹枝状の菌根集団を作 った。 Amanita 属は A 層から B 層にかけて 細 い根状菌糸束をつくって広がり, 樹枝状の小さな 菌根をまばらに形成した。Russula や Lactarius 属は菌糸束や根状菌糸束を形成し, 樹枝状の菌根 をつくってHA層から、A1層に広がった。 Laccaria 属, Inocybe 属は判別しにくい菌糸層を HA 層から A<sub>1</sub> 層につくり、菌鞘の発達しない棒 状の菌根をまばらに形成した。

菌糸層や菌糸束の形態についてみると, 菌糸の みからなる大型のシロをつくる菌は Clitocybe 属 と Collybia 属以外にはなかった。 ほとんどの種 が菌糸束や根状菌糸束を形成しており, 菌根菌に は根状菌糸束を形成するものが多かった。

この調査区域外で採集された主な高等菌類はタ マチョレイタケ (Polyporus tuberaster), ヒメベ ニテングタケ (Amanita rubrovolvata), クチベ ニタケ (Calostoma japonicum), ツキョタケ (Lampteromyces japonicus), キイロスッポンタ

ケ (Phallus costatus), ナラタケ (Armillariella mellea) などであった。

1973年から1975年にかけて梅雨季と秋に毎年数度調査をくりかえしたが、1973年の発生がもっとも良く、他の年にも種組成の大きな変化は見られなかった。

Fig. 3 に子実体発生位置図の一部を示す。子実体は林床植物の少ない所に多く発生する傾向があった。代表的な菌についてみると,時にフェアリーリングを描く,カヤタケが不定形のシロを 3 個形成し,小形のシロをつくる Cortinarius 属の数種がそれぞれ子実体を群生させていた。カヤタケと Cortinarius 属とはシロがいずれも F 層に形成されるために 競合していた。 ブナの実につく ウスキブナノミタケは実に特異的に発生するためにほとんどランダムに分布していたが,カヤタケのシロの中では少なかった。 Inocybe 属とキツネタケも子実体が群生したが,明瞭なシロ形成は認められなかった。調査区域全体の菌の発生はまばらであった。

## 4) 土壤微生物相

## (1) 水平分布

Fig. 4 にコードラート内の土壌微生物の 水平分布状態を示す。  $2\,\mathrm{m}$  間隔の点で 採取した  $A_1$  層の土壌 には見かけ上の変化はなく、含水率や pH にも採取地点による差はほとんどなかった。

糸状菌の菌数は10点の間で開きが大きく、多い場合は少ない場合の約10倍に達した。糸状菌の分布は不均一になっているといえる。一方、細菌と放線菌の菌数は細菌が2地点で多いのをのぞくと、各点でほぼ同数となった。細菌数がどの地点でも多く、放線菌数と逆転する現象は見られなかった。微生物の出現傾向は各点で同じであった。

# (2) 垂直分布

土壌断面における土壌微生物の垂直分布状態を Fig. 5 に示す。  $A_0$  層についてみると, 細菌数は落葉後ほぼ1年たった褐色葉の1で多く,分解が進んだ断片葉の2から細片化した葉の3と分解が進むにつれて減少した。 逆に糸状菌数は1に少なく,2,3となるにつれて多くなった。 これらにくらべて,放線菌数の変化はほとんどなかった。新鮮落葉では細菌が多く,分解を進める糸状菌が腐朽葉で増加した。

Ao 層にくらべて HA 層では糸状菌数が 2 桁さがり、細菌数と放線菌数はともに 1 桁減少した。 細菌は

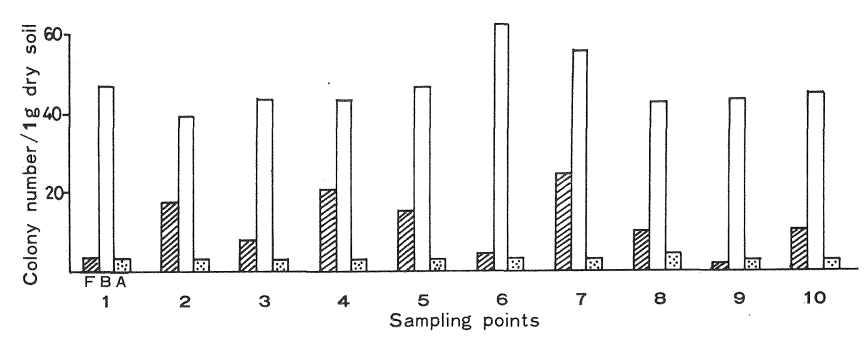


Fig. 4 Horizontal distribution of soil microorganisms in A<sub>1</sub> horizon of Fagus crenata—Fagus japonica forest. Oct. 1, 1973.
Soil samples were collected from 10 points with 2 m interval. Soil microorganisms were isolated by dilution plate method on the media;
Glucose peptone plus rose bengal (GPA) and soil extract media.
F: Fungi, ×10³, B: Bacteria, ×10⁵, A: Actinomycetes, ×10⁵.

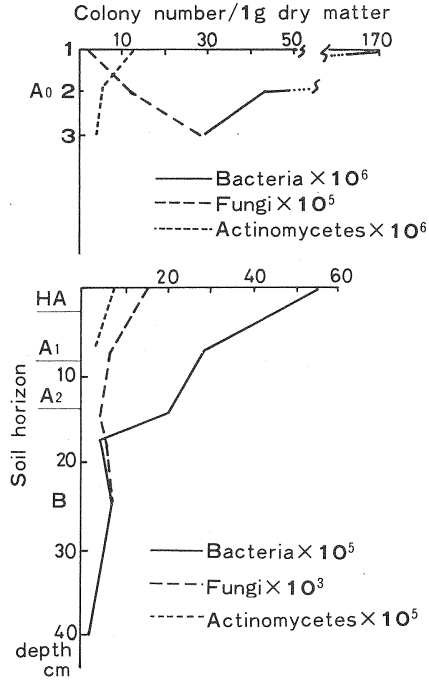


Fig. 5 Vertical distribution of soil microorganisms on the soil profile in Fagus crenata—Fagus japonica forest. Oct. 1, 1973. Soil samples were collected from each soil horizon, and microorganisms were isolated on the same media as described in Fig. 4.

鉱質土層 の 中でも 根や 腐植の多い HA,  $A_1$  および  $A_2$  層に比較的多く, B 層で急減した。放線菌は HA と  $A_1$  層に現われ,  $A_2$  層以下では分離されなかった。 糸状菌は HA 層から B 層にいたるまで ほとんどかわらず現われ,深さ  $25\,\mathrm{cm}$  まで出現した。

# (3) 表層土壌に生息する微生物の機能

HA 層と  $A_1$  層に生息する微生物を培地をかえて分離すると、Fig. 6 に示すように出現する 微生物数が大きく異なった。細菌の分離用としてよく用いられている土壌煎汁培地(Soil extract)では、HA 層で細菌と放線菌がほぼ同数出現し、 $A_1$  層では細菌数が HA 層とほとんどかわらなかったのにくらべて、放線菌が減少した。一方、糸状菌分離用のローズベンガル加用グルコース・ペプトン培地(GPA)では糸状菌数が HA 層に多く、 $A_1$  層で減少した。他の8種の培地で分離した際の菌数もこれらの一般的な培地で分離した際の菌数を大きく上まわることはなかった。

リグニン分解能を持った微生物が分離されるタンニン酸を含む 培地 (Tannic acid) では HA 層 で 糸状菌、細菌、 放線菌がともに出現したが、  $A_1$  層では糸状菌、Penicillium sp. の 1 種だけとなった。

セルロース (Cellulose) を分解する 細菌数は HA 層

と  $A_1$  層とでほとんどかわらなかったが、糸状菌と放線菌は減少した。 このような動きは一般的な培地で分離した時の傾向ににていた。

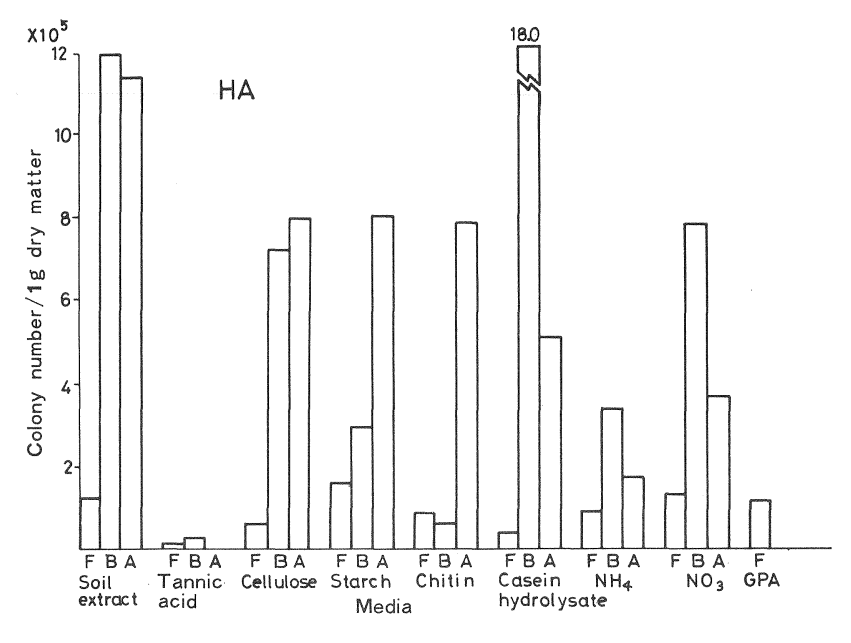
デンプン(Starch)を利用する 放線菌は HA 層と  $A_1$  層の双方で細菌数よりも多かった。 デンプンを利用する細菌数はセルロースを分解する細菌よりも少なく, HA 層より  $A_1$  層で多かった。 デンプンを利用する糸状菌は HA 層で多く  $A_1$  層で少なかった。

キチン (Chitin) を分解する放線菌は HA 層と  $A_1$  層でともに多く、糸状菌と細菌は HA 層より  $A_1$  層で多かった。糸状菌の遺体、動物の遺骸などのキチンは主として放線菌によって分解されていると思われる。

有機態窒素, カゼイン加水分解物 (Casein hydrolysate) を利用する細菌数は HA 層と  $A_1$  層でとも に多く,放線菌数と糸状菌数は少なかった。

アンモニア態窒素  $(NH_4)$  を利用する糸状菌、細菌、放線菌はいずれも HA 層と  $A_1$  層でともに少なかった。

一方,硝酸態窒素( $NO_8$ )を利用する細菌は HA 層で多く, $A_1$  層で減少し,放線菌や糸状菌にも同様の傾向が 見られた。 亜硝酸態窒素( $NO_2$ )を利用するものは HA 層には 見られず, $A_1$  層にのみ 出現した。



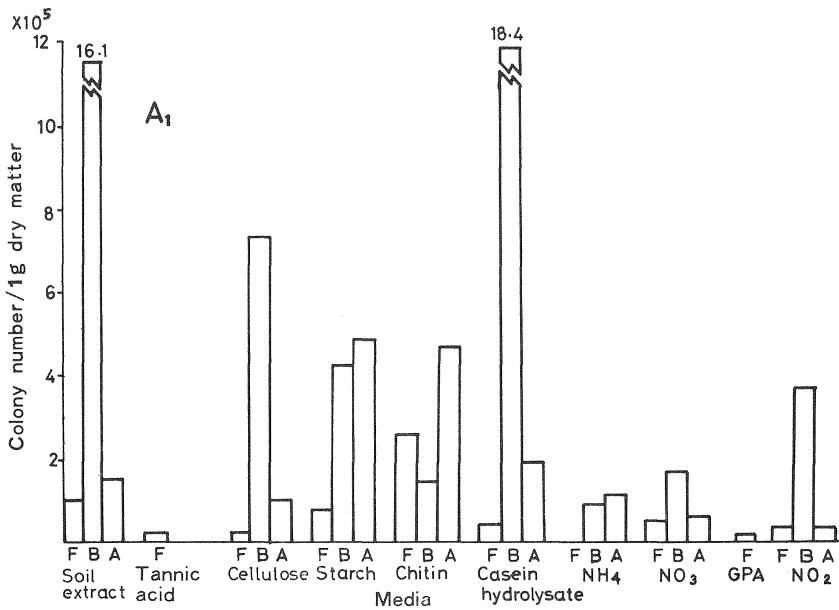


Fig. 6 Soil microorganisms with different characters in the surface soil. Soil samples were collected from HA and A<sub>1</sub> horizons of soil profile in Oct. 1973. Soil microorganisms were isolated by dilution plate method on the media as following: The basal medium used in the experiment was 10.0 g glucose, 2.0 g NH<sub>4</sub>NO<sub>3</sub>, 1.0 g KH<sub>2</sub>PO<sub>4</sub>, 0.5 g MgSO<sub>4</sub>·7 H<sub>2</sub>O, 0.5 g Peptone, 0.5 g Yeast extract, 20.0 g agar. Glucose was exchanged with 5.0 g cellulose, 1.0 g tannic acid, 10.0 g starch or 5.0 g chitin. NH<sub>4</sub>NO<sub>3</sub> was exchanged with (NH<sub>4</sub>)<sub>2</sub>SO<sub>4</sub>, 2.0 g NaNO<sub>2</sub>, 2.0 g NaNO<sub>3</sub> or 2.0 g casein hydrolysates and 0.5 g peptone was removed. pH was adjusted by 1 N HCl or 1 N NaOH solution.

炭水化物の利用についてみると、いずれの物質に対しても HA 層で活性が高く、 $A_1$  層で低下していた。リグニンを分解する微生物はほとんどなく、セルロース、デンプン、糖類などが土壌微生物の主要な炭素源となっている。

窒素化合物の利用についてみると、糸状菌は主として無機態の窒素を利用し、細菌は蛋白質やアミノ酸類を利用しているように見える。 HA 層で窒素の無機化がすすみ、  $A_1$  層では硝酸化成が盛んなように見うけられる。

## 5) ブナの根圏微生物相

ブナの根圏土壌と根から離れたところにある  $A_1$  層土壌から7月と10月に分離された微生物群を Fig. 7 に示す。微生物数の季節による変化をみると根圏土壌でも  $A_1$  層土壌でも細菌数が7月に多く,10月のほぼ2~10倍に達した。これにくらべて,糸状菌と放線菌の変化は小さかった。

グルコース (Glucose) を炭素源とする細菌数は7月には $A_1$ 層土壌よりも根圏土壌に多く,10月にな

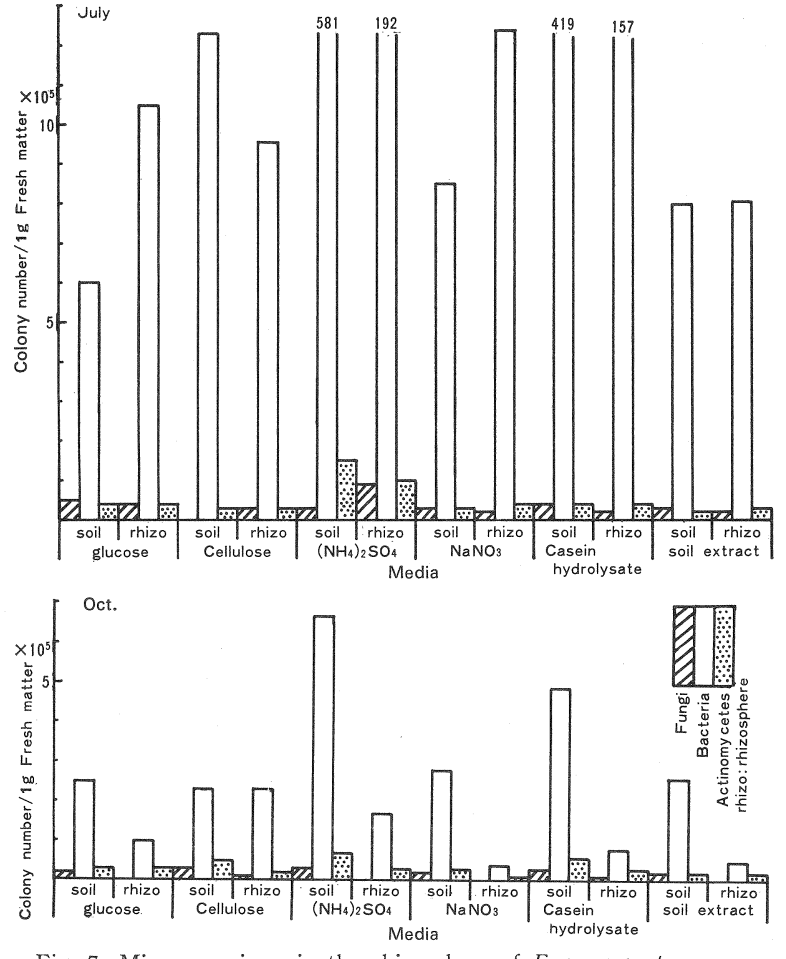


Fig. 7 Microorganisms in the rhizosphere of Fagus crenata.

The tree roots and soil samples were collected from HA horizon on July 29 and Oct. 20 in 1974. Rhizosphere microorganisms were isolated by dilution plate method after the washing of roots with sterilized water. The media used were the same as described in Fig. 6.

ると, 菌数が減少して逆転した。糸状菌や放線菌には大きなちがいがなく, 秋には減少した。

セルロース (Cellulose) を分解する細菌数は  $A_1$  層土壌と根圏土壌でさほどかわらず, 7 月に多く, 10 月に減少した。 糸状菌数は 7 月に根圏土壌に多く, 10 月には  $A_1$  層土壌で増加した。 放線菌には 顕著な動きがなかった。

アンモニア態窒素( $(NH_4)_2SO_4$ )を利用する細菌数は7月には $A_1$  層土壌に多く,根圏土壌の約3倍となり,この傾向は10 月までつづいた。糸状菌数は7月には根圏土壌で多く,10 月には逆転した。放線菌数は7月には双方で多く,10 月にも同様の傾向が見られた。

硝酸態窒素 (NaNO<sub>8</sub>) を利用する細菌数は7月には根圏土壌に多く,10月には逆転した。糸状菌や放線菌のうごきはわずかであった。

有機態窒素,カゼイン加水分解物 (Casein hydrolysate) を利用する 細菌,糸状菌,放線菌数 の変化 はほぼアンモニア態窒素を利用するものと同じ傾向を示した。

土壌煎汁培地で分離されたものの出現傾向はグルコースや硝酸態窒素をベースとした培地で分離した場合に類似していた。根からの物質の分泌や根の生長にともなう老廃物の生産、水分環境の変化などによって根圏の微生物相ははげしく変化しているものと思われる。

# 考 察

# 1) 堆積腐植

ブナ・イヌブナ林の堆積腐植の分布状態はスギやヒノキ人工林の場合にくらべて,下層植生が豊富なために一様になりにくい。また,ブナの落葉はダケカンバやコナラなどと異なり,落葉直後に  $A_0$  層から上昇してくる菌糸束にとらえられる $^{8)}$  ことが少なく,乾燥すると巻く性質がある。このために落葉が移動しやすく, 微地形や林床植生の状態によって堆積腐植,  $A_0$  層の分布が不均一になりがちである。この不均一な分布の結果,細根や  $A_0$  層とその直下に生息する土壌生物の分布も変化しやすくなる。

堆積腐植を構成する落葉などの有機物を粒径によってふるいわけしてみると、この林分の分解型はダケカンバ林 $^{5}$ など、落葉広葉樹林 $^{11}$ に共通するパターンを示した。 新鮮落葉と分解葉が多く、細片化した粗腐植や腐植の集積が少ないパターンとなり、ヒノキ林の場合 $^{15}$ とまったく異なる分解型となった。季節による  $A_{0}$  層の厚さや量の変化は落葉時期が秋であるためにかなり大きかったが、 堆積腐植の組成に大きな変化はなかった。季節によって F 層や HA 層が消えるというような現象はなく、 F 層以下での分解速度は 1 年を通じて安定しているように思われた。この林分の表層土壌では土壌動物の活動も盛んであり $^{7}$ 、堆積腐植はモダー型である。

ブナなどの落葉分解には斎藤<sup>18)</sup>も指摘しているように明らかな白色腐朽と褐色腐朽とが認められる。この白色腐朽はカヤタケといくつかの *Collybia* 属の帽菌類によって行われており、そのいずれもが大形の円形のシロないしはコロニーを形成する。褐色腐朽をする帽菌類が認められないことから、褐色腐朽は斎藤<sup>14)</sup> のいうように糸状菌と細菌とによって 進むものと思われる。ヒノキの落葉分解には 白色腐朽がまれで、帽菌類の発生も少なく、この点でもブナとヒノキの落葉分解過程の相違が明らかである。

#### 2) 菌 根

ヒノキやスギがその細根に菌を共生させて内生菌根を形成しているのと異なり、ブナやイヌブナは担子 菌類とくにきのこ類と共生して外生菌根を形成する。この点でもヒノキ林やスギ林とはまったく異なる菌 類相をもっているといえる。

ブナやイヌブナの細根は  $A_0$  層が厚いと  $A_0$  層の中に上昇し,  $M_{\rm EYER}$ 6)が報告したようにモダーやモル型の堆積腐植では F 層で菌根の形成が盛んである。根の全量に対する菌根率は約 20% と低かったが,若い細根に対する菌根の 占める 率は  $M_{\rm EYER}$ 6)の測定結果と 同様, F 層では 80% 近くに なるものと思われる。

F層で菌根量が増加するのはこの層に菌糸層を広げて生息し、外生菌根を形成する Cortinarius 属の菌や F層から HA 層にかけて菌糸束をつくって広がり、外生菌根を形成する Russula 属の菌が多いためである。これに反して、 $A_1$  層以下の鉱質土層に菌糸層をつくる菌根菌がほとんどなく、 菌糸束をつくるものも少なくなるので、鉱質土層の菌根量が減少する。これはアカマツ林などの場合が と大きく異なるところである。一般にこの  $B_D$  型土壌の ように湿潤で土壌有機物にとむ土壌では  $A_0$  層から  $A_1$  層にかけて菌糸束や根状菌糸束をつくって生息する菌根菌が増加し、鉱質土層に生息する菌が減少する。根状菌糸束をつくる菌根菌が形成する菌根はまばらに分布するので、菌根の土壌中での分布は一様になりやすい。

# 3) 高等菌類相

1973年のみの調査結果ではあるが、発生した菌の種数は44種とかなり多く、腐生菌と菌根菌の比率がほぼ1:1となった。このような菌類の出現傾向は広葉樹林の例80とにており、クロマツ林100やアカマツ林90など針葉樹林の例とは異なっている。 菌根菌の属構成が単純で Cortinarius, Russula, Amanita, Lactarius などの属で代表されるのが特徴的である。この特徴は他の広葉樹林にも共通する110。スギ、ヒノキ林など内生菌根樹種の森林とは全く異質な菌類相を示す。

高等菌類の発生位置をみると、生活型の異なる菌のシロが互いに重なりあうことなく分布しており、一種のすみわけが認められる。F層に生息する落葉分解菌のカヤタケと菌根菌の Cortinarius との間にはその生活型が異なっても生息位置のうばい合いによる競争関係が認められる。このような現象は多くの森林についてすでに認められていることである<sup>9)10)</sup>。 林床における菌のシロまたは菌糸束はたえず移動しており、おそらく、時間とともに優占する菌の種類や量、ひいては種組成も変化することと思われる。

#### 4) 土壤微生物

土壌微生物の水平分布についてみると, $A_1$ 層の土壌では高等菌類のシロがないために,分布がほぼ均一となる。糸状菌の場合は細菌や放線菌と異なり,不均一に分布する傾向があった。全般にヒノキ林にくらべて細菌の比率が高い傾向が見られた。

垂直分布をみると、糸状菌、細菌、放線菌がそれぞれ固有の分布パターンを示している。 $A_0$  層では糸状菌が落葉分解の進行につれてふえ、細菌は逆に減少し、放線菌は一定の傾向を示さなかった。このことは F 層で担子菌がふえることとあわせて、難分解物が主として菌によって分解されること、細菌は易分解性のものを利用しやすいことを示している。また、斎藤40がいうように落葉分解にともなって分解微生物群が交替することも明らかである。

細菌は  $A_0$  層から鉱質土層へかけて有機物の浸透や根の量などに応じて連続的に分布するが,糸状菌は  $A_0$  層に多く, 鉱質土層で急減する不連続な分布を示す。 このことは通常の方法で分離される糸状菌の多くが  $A_0$  層で有機物の分解に関与しているものであることをうかがわせる。一方,放線菌の分布は変化に 乏しく,落葉分解にもほとんど無関係のように思われる。水平,垂直分布はともにヒノキ林のものより変化が大きく現われている。

表層土壌に生息する微生物の機能についてみると、ヒノキ林ではリグニン分解微生物が少なかったのにくらべて $^{15}$ )、ここでは細菌や放線菌の中にもわずかにこの能力を持ったものが出現した。ブナの落葉がきのこ類によって分解されると脱リグニンが進み、セルロースや糖類が増加することが知られている $^{18}$ 0。 HA 層でセルロース,デンプン,糖などを利用する微生物が増加しており,F 層でのリグニン分解がよく進んでいることをうかがわせる。

窒素化合物の分解利用についても細菌による有機態窒素の分解が盛んで、 $A_0$  層から HA 層にかけてアンモニア化成が進んでいると思われる。HA 層から  $A_1$  層にかけて無機態窒素を利用するものが増加し、 $A_1$  層で亜硝酸窒素を利用するものが多くなることから、HA 層と  $A_1$  層で硝酸化成作用が 進んでいるように思われる。無機態窒素を利用するものはヒノキ林にくらべて少なく $^{16}$ 、硝酸化成の活発な動きを思わせる変化もここでは少なかった。

根圏土壌と A<sub>1</sub> 層土壌の微生物群を比較すると、その数は夏と秋で大きく変動した。中でも根圏土壌の微生物の動きははげしく、これは根の生長と脱落、菌根の形成と消失などによるものと思われる。根圏における種々の窒素化合物を利用する微生物群の動きについてはさらに検討する必要があるが、ヒノキにくらべて硝酸態窒素を利用する細菌が多いなど、ブナに特異的な現象も認められる。おそらく、菌根菌による有機態やアンモニア態窒素の吸収と代謝が根面や根圏で盛んに行われていることともつながりがあると思われる。

以上述べたようにブナ・イヌブナ林の高等菌類相と微生物相は同一地域の同一土壌に成林しているヒノキ人工林のものと全くといえるほどに異なっている。ブナ・イヌブナ林の高等菌類相は種類も豊富で量も多く、ヒノキ林と共通する点がない。これは菌根菌のちがいだけでなく、落葉分解菌のちがいにもよっている。

広葉樹天然林の伐採跡地に造林された前報<sup>15)</sup>のヒノキ人工林の土壌生態系は 45 年のうちに鉱質土層の土壌微生物相を除いてほぼ完全に変質し、広葉樹林的要素を失ったように思われる。このような土壌微生物相など土壌生態系を構成する要素の変質がどのような過程をたどって進行するのか、また、ヒノキ人工林の伐採後に天然状態にもどりうるか否か、それに要する時間と回復手段など検討を要する課題が数多くあるように思われる。ヒノキ人工林面積が増加し、その2代目、3代目林が造成されてゆくにつれて、ヒノキ林土壌が天然状態に回復しえない不可逆的な状態に近づいてゆくことが予想される。生物相の豊富な広葉樹林やアカマツ林にかわって生物相の単純なヒノキやスギの人工林が拡大している事実はとりもなおさず、わが国の大部分を占める森林の生物相を大規模に恒常的に人間が改変していることを意味している。用材生産を目的とする人工林の拡大にあたっては長期的な展望にたった周辺生態系の変化とその許容限界に関する配慮が必要になると考えられる。

## 引用文献

- 1) Caldwell, R.: Observation on the fungal flora of decomposing beech litter in soil. Trans. Brit. Mycol. Soc. 46(2): 249~261, (1963)
- CARRE, C. G.: Fungus decomposition of beech cupules. Trans. Brit. Mycol. Soc. 47(3): 437
   ~444, (1964)
- 3) 石塚和裕: 落葉分解と土壌、ペドロジスト、24(1): 29~40、(1980)
- 4) 河原輝彦ら:ブナ天然林とヒノキ人工林の物質生産とその循環, 日生態誌, 29:387~395, (1979)
- 5) Meyer, F. H.: Vergleich des Mikrobiellen Abbaus von Fichten -und Buchenstreu auf Verschiedenen Bodentypen. Archiv. Mikrobiol. 35:340~360, (1960)
- 6) Meyer, F. H.: Die Mykorrhiza Ausbildung an Buche und Fichte in Mull, Moder und Rohhumus. Mykorrhiza Inter. Mykor. Sympo. Weimar: 285~295, (1960)
- 7) 農林水産技術会議事務局:表日本型ブナ天然林及びヒノキ人工林における実態解析「農林漁業における環境保全的技術に関する総合研究」試験成績書(第1集):6~97, (1979)
- 8) Ogawa, M.: Ecology of higher fungi in *Tsuga diversifolia* and *Betula ermani—Abies mariesii* forests of subalpine zone. Trans. Mycol. Soc. Japan, 18:1~19, (1977)
- 9) 小川 眞:アカマツ林における菌根菌—マツタケ—の微生物生態学的研究, IV, 菌類社会におけるマツタケのシロ, 林試研報,  $297:59\sim104$ , (1977)
- 10) ----:海岸砂丘クロマツ林における微生物相, 林試研報, 305:107~124, (1979)
- 11) ----: 菌を通して森を見る, 創文, (1980)
- 12) 大政正隆・河田 弘・河田明子:森林土壌微生物に関する研究,土壌型と微生物群落との関係,林 試研報,95:1~70,(1957)
- 13) Saito, T.: An approach to the mechanism of microbial decomposition of beech litter. Sci. Rep. Tohoku Univ. Ser. IV (Biol.) 26:125~131, (1960)
- 14) Saito, T.: Sequential pattern of decomposition of beech litter with special reference to microbial succession. Ecol. Rev. 16: 245~254, (1966)
- 15) 山家義人・小川 真・石塚和裕:ヒノキ人工林の堆積腐植の分解と微生物相, 林試研報, 313, 161 ~174, (1981)

# Fungal and Soil Microbial Florae in the Natural Stand of Fagus crenata and F. japonica

Makoto Ogawa<sup>(1)</sup>, Yoshito Yambe<sup>(2)</sup> and Kazuhiro Ishizuka<sup>(3)</sup>

#### Summary

Fungal and soil microbial florae and litter decomposition were investigated in a natural stand of Fagus crenata and Fagus japonica forest in Tochigi Pref. The thickness of the  $A_0$  layer was estimated at points with 2m intervals in a quadrate settled in the stand. The distribution of the  $A_0$  layer was not uniform depending on the microtopography and the distribution of understory vegetation like bamboo shrubs and grasses. Litter was collected by a  $50 \times 50 \, \mathrm{cm}$  square frame according to the thickness of the  $A_0$  layer in the quadrate and divided in to several fractions with sieves of 5, 10, 20 and 32 mesh in June and November. Litter decomposing patterns were figured by the percentages of each fraction to the total weight of litter. The patterns were the same without distinction of the thickness of the  $A_0$  layer and seasons. It seems that the decomposition of litter in this stand has been progressing normally compared with that in the Chamaecyparis obtusa stand previously reported (15). The patterns were common to those of other deciduous leaved trees.

Concerning the litter decomposing processes, two distinct processes were recognized: white rot and brown rot. The white rot process was led by some hymenomycetes like *Clitocybe infundibuliformis* and *Collybia* spp. which formed the larger colonies, Shiro, from the F layer to the L layer. In this stand, white rot areas covered most of the forest floor. On the other hand, brown rot which was led by filamentous fungi and bacteria was distributed irregularly.

Fine roots and mycorrhizae of the Fagus species were collected by the same frames used for litter according to each soil horizon and extracted from the litter by washing. The distribution of fine roots and mycorrhizae varied with the thickness of the  $A_0$  layer. These amounts increased in the F layer at the points with a thick  $A_0$  layer. The mycorrhizae of the Fagus species were distributed mainly from the F to the HA layer because of the abundance of the mycorrhizal fungi which inhabited the  $A_0$  layer. The amount in mineral soil horizons decreased.

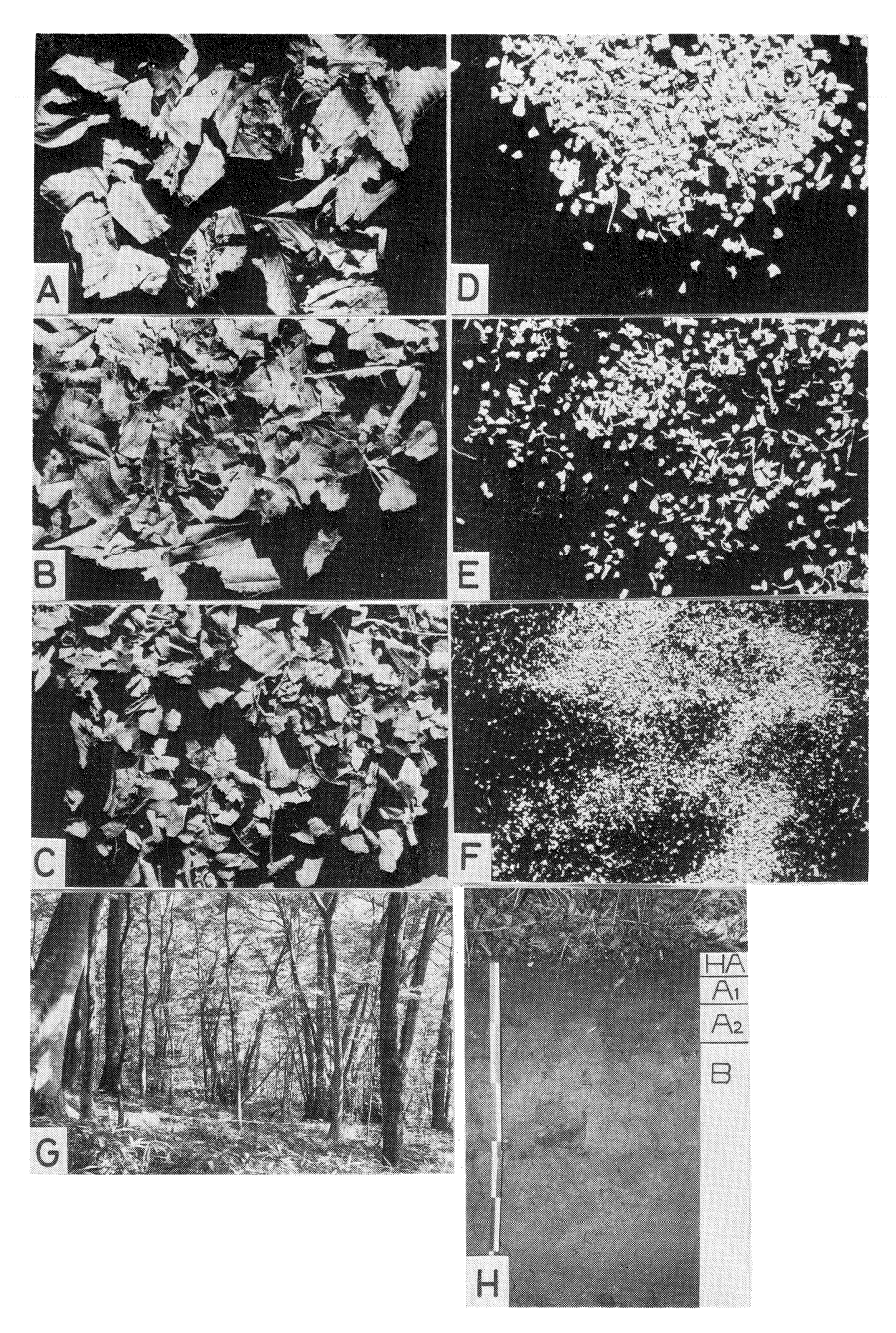
Higher fungi occurring in the stand were collected from the 168 m² quadrate in 1973, and the positions of occurrence were marked. The total of species number of higher fungi was 44 including 23 species of saprophytes and 21 species of mycorrhizal fungi. The total number of fruit-bodies was 625, and the total weight of them 33.06 g/168 m². Mycena spp. and Clitocybe infundibuliformis were dominant among litter decomposers, and Cortinarius spp. and Russula spp. among mycorrhizal fungi. Competition among the fungal colonies with the same or different life types was recognized.

Soil microorganisms were isolated by the dilution plate method on the soil extract and glucose pepton with rose bengal media. Horizontal distributions of soil microorganisms except for soil fungi were comparatively uniform in the  $A_1$  horizon. In the  $A_0$  layer, bacteria which

was dominant in the fresh leaves decreased in the decomposed leaves in which the fungal population became higher. It was certain that there was the alternation of decomposers according to the progress of litter decomposition. In mineral soil horizons, bacteria and actinomycetes were distributed continuously from the  $A_0$  layer to the mineral soil depending on the depth of the soil. However the distribution of soil fungi was not continuous, and the fungal population decreased abruptly in mineral soil horizons.

The functions of soil microorganisms inhabiting the HA and  $A_1$  horizons were investigated by the dilution plate method on the media with different carbon and nitrogen sources as the substrates. Some lignin decomposers were isolated in both horizons, and the number was higher than that in the *C. obtusa* stand. Lignin decomposition in the *Fagus* stand had progressed more rapidly than that in *C. obtusa* stand due to the high activity of soil microorganisms and some higher fungi. Microorganisms which utilize cellulose, starch and glucose increased in the HA horizon because of the active lignin decomposition in the  $A_0$  layer. Soil bacteria which utilize organic nitrogen compound increased in the HA horizon, and nitrate utilizing bacteria in the  $A_1$  horizon. It seems from these results that the ammonification progresses in the  $A_0$  and HA horizons and nitrification in the HA and  $A_1$  horizons. The number of microorganisms utilizing inorganic nitrogen compounds was less than that in the *C. obtusa* stand. The microbial number of rhizosphere of *Fagus* and mineral soil varied seasonally. Especially, the bacterial number in rhizosphere increased in summer.

The fungal and soil microbial florae in the Fagus forest were completely different from those in the C. obtusa stand which was established in the same area under similar climatic and soil conditions. The C. obtusa stand which was planted after the cutting of the deciduous broad leaved forest has lost the microbial features of the previous deciduous forest. It seems that such changes of microbial florae are so great and irreversible that it may not recover to the original state artificially.



- A: Fallen leaves of Fagus in October.
- B: Fragmented brown leaves in F layer.
- C: Fragments of decomposed leaves in F layer.
- D: Organic matters in HA horizon including the fragments of root, bark and wood.
- E, F: Organic matters in HA horizon, mixing with mineral soil.
- G: Fagus crenata-Fagus japonica forest, most of forest floor were covered by bamboo shrubs and weeds.
- H: Soil profile in Fagus forest.